

# Tafeln

Autor(en): **[s.n.]**

Objektyp: **Appendix**

Zeitschrift: **Eclogae Geologicae Helvetiae**

Band (Jahr): **45 (1952)**

Heft 1

PDF erstellt am: **19.09.2024**

## **Nutzungsbedingungen**

Die ETH-Bibliothek ist Anbieterin der digitalisierten Zeitschriften. Sie besitzt keine Urheberrechte an den Inhalten der Zeitschriften. Die Rechte liegen in der Regel bei den Herausgebern.

Die auf der Plattform e-periodica veröffentlichten Dokumente stehen für nicht-kommerzielle Zwecke in Lehre und Forschung sowie für die private Nutzung frei zur Verfügung. Einzelne Dateien oder Ausdrucke aus diesem Angebot können zusammen mit diesen Nutzungsbedingungen und den korrekten Herkunftsbezeichnungen weitergegeben werden.

Das Veröffentlichen von Bildern in Print- und Online-Publikationen ist nur mit vorheriger Genehmigung der Rechteinhaber erlaubt. Die systematische Speicherung von Teilen des elektronischen Angebots auf anderen Servern bedarf ebenfalls des schriftlichen Einverständnisses der Rechteinhaber.

## **Haftungsausschluss**

Alle Angaben erfolgen ohne Gewähr für Vollständigkeit oder Richtigkeit. Es wird keine Haftung übernommen für Schäden durch die Verwendung von Informationen aus diesem Online-Angebot oder durch das Fehlen von Informationen. Dies gilt auch für Inhalte Dritter, die über dieses Angebot zugänglich sind.

## Erklärung zu Tafel I

- Fig. 1. *Clupea sardinites* (H.) mit Anzeichen beginnender Mazeration. Wirbelsäule mehrfach gebrochen, Schuppen teilweise abgelöst und zerstreut. — 1 : 1. — Entlebuchschiefer. INr. 12. Aufnahme: H. FRÖHLICHER . . . . . S. 10, 27.
- Fig. 2. *Clupea sardinites* (H.) mit hakenartig abgeknicktem Kopf. — 1 : 1. — Entlebuchschiefer. INr. 81. Aufn. H. FRÖHLICHER . . . . . S. 10, 27.
- Fig. 3. *Sarda brachycephala* (LER.). — Etwa 1 : 3. — Entlebuchschiefer. INr. A2, 5, 22a, 23. Aufn.: Photo-Kulturinstitute Worms (K. FÜLLER). B = Becken; C = Caudalis; D I u. D II = erste und zweite Dorsalis; M = Magenanhang mit den Skeletten gefressener Clupeiden; V = Ventralis . . . . . S. 14.
-



Fig. 2

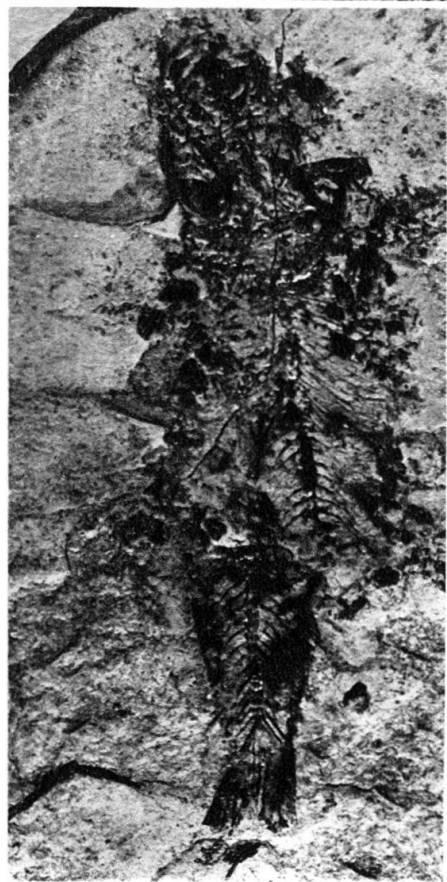


Fig. 1



Fig. 3

5 cm

## Erklärung zu Tafel II

- Fig. 1. *Palaeorhynchus* sp. Abdruck der Hypuralplatte mit Flossenstrahlen der Caudalis. — ca. 1 : 1. — Entlebuchschiefer. INr. 44. Hy = Abdruck der Hypuralplatte. Aufn.: H. FRÖHLICHER . . . . . S. 18.
- Fig. 2. *Clupea sardinites* (H.), zerfallene Leiche. — 1 : 1. — Entlebuchschiefer. INr. A 24. Aufn.: H. FRÖHLICHER. PrOp. = Praeoperculum, daneben weitere Kopfknochen; SFl = abgelöste Schwanzflosse; SW = Ende der Schwanzwirbelsäule, von Schuppen umgeben. S. 10, 27.
- Fig. 3. *Centriscus* cf. *teleajensis* (J.). — 1 : 1. — Entlebuchschiefer. INr. 1. Aufnahme: H. FRÖHLICHER . . . . . S. 20.
- Fig. 4. *Cetorhinus parvus* LER. Reusenzahn. — 1 : 1. — Entlebuchschiefer. INr. 66. Aufn.: H. FRÖHLICHER . . . . . S. 10.
- Fig. 5. *Alosa sculptata* W. Septarienton, Delsberger Becken. — 1,2 : 1. — Naturh. Museum Berr. Aufn.: Photo-Kulturinstitute Worms (K. FÜLLER) . . . . . S. 7.



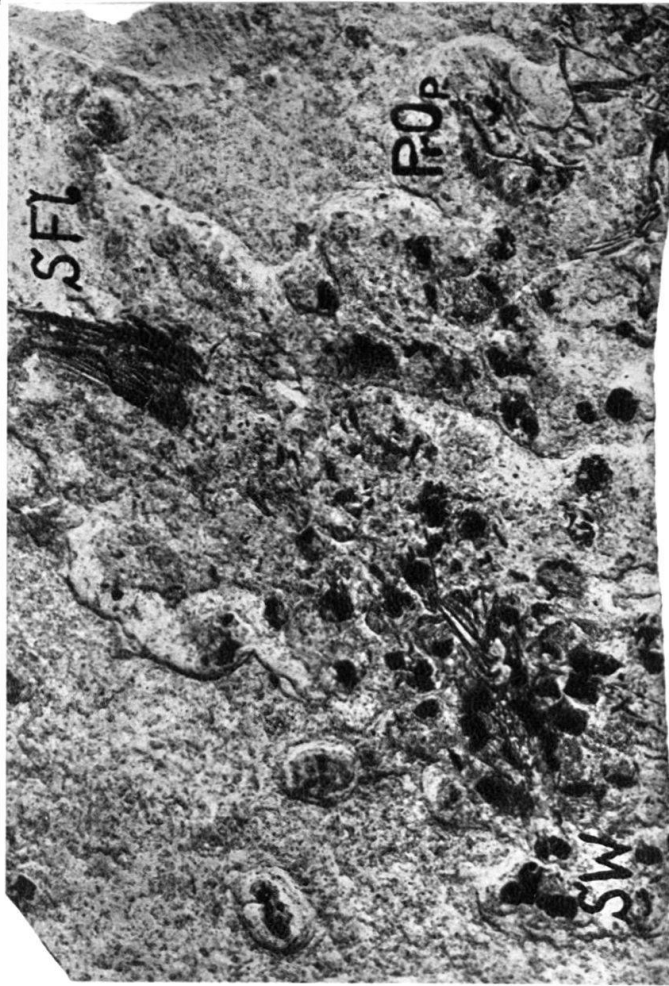


Fig. 2



Fig. 5

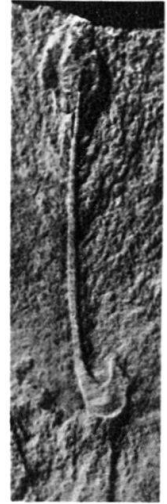


Fig. 4

Fig. 3

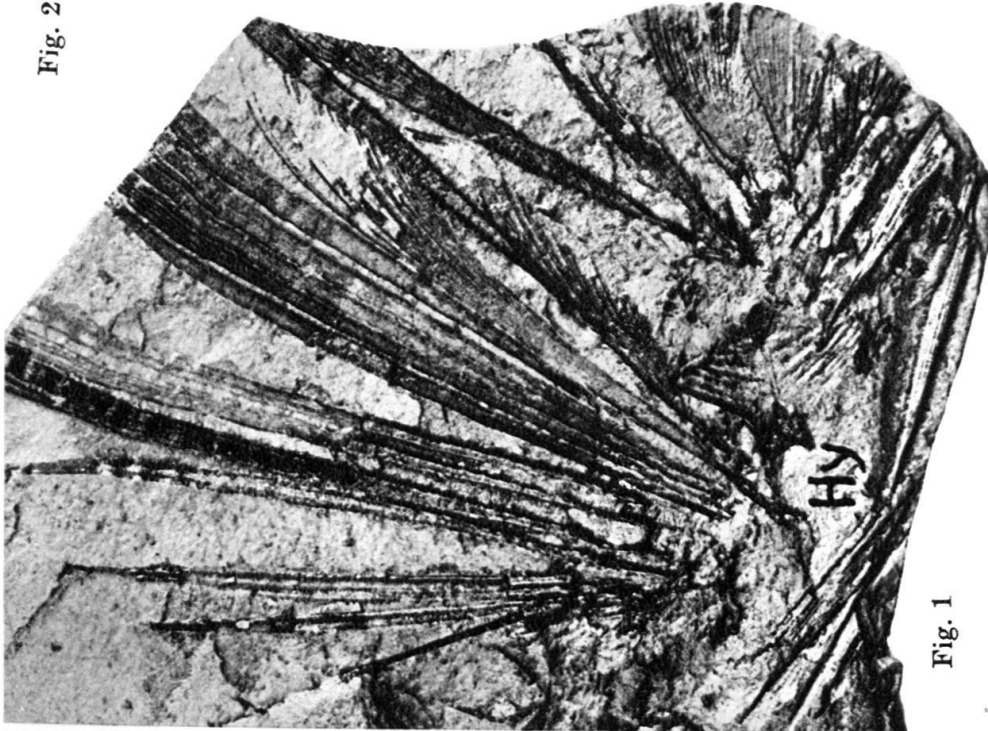
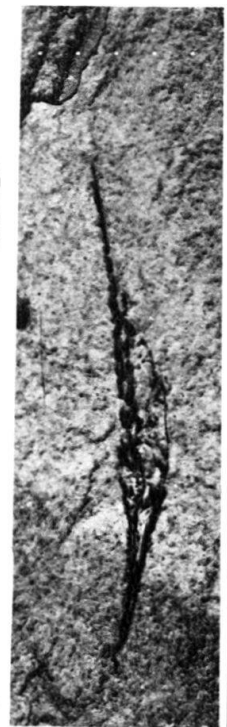
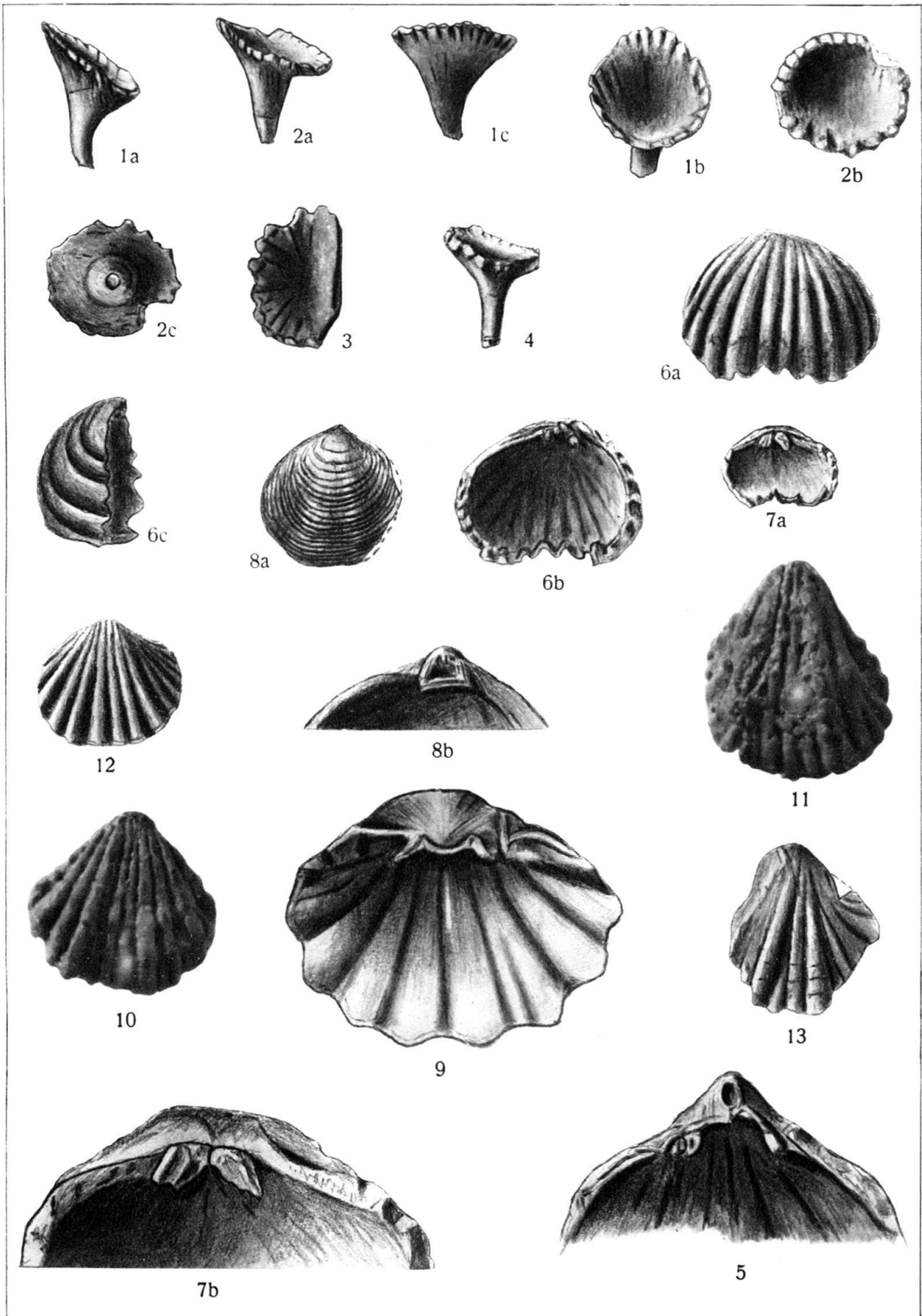


Fig. 1



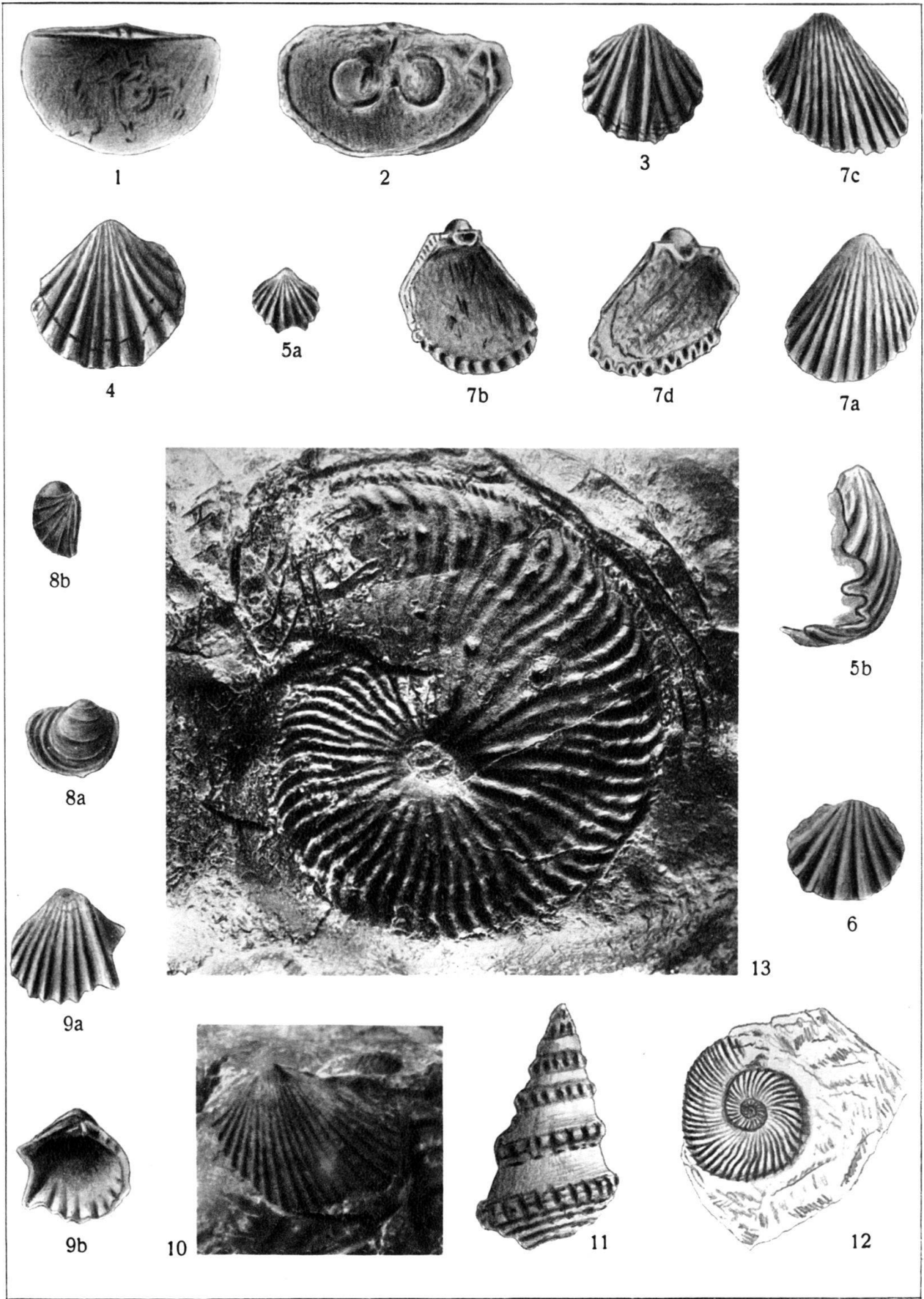
### Erklärung zu Tafel III

Fig. 1–4.	<i>Radiolus funginus</i> n. sp. Primärstacheln . . . . .	68
	Fig. 1a–c. Holotypus (Exemplar a). Fig. 1a und 1c. Zwei verschiedene Seitenansichten. $\times 1,5$ . – Fig. 1b. Distale Seite $\times 1,5$ .	
	Fig. 2a–c. Exemplar b. Peripherie an einer Stelle beschädigt. Fig. 2a. Seitenansicht $\times 1,5$ . – Fig. 2b. Distale Seite $\times 1,5$ . – Fig. 2c. Proximale Seite.	
	Fig. 3. Exemplar c. Rechts beschädigt. Distale Seite. $\times 1,6$ – Fig. 4. Exemplar d. Randlich stellenweise beschädigt. Seitenansicht $\times 1,5$ .	
Fig. 5.	<i>Spirigera moluccana</i> n. sp. . . . .	69
	Holotypus (Exemplar a). Ventralschale von innen $\times 5,6$ .	
Fig. 6a–c.	<i>Spirigera moluccana</i> n. sp. Exemplar b. Dorsalschale $\times 2,6$ . Fig. 6a. Von aussen. – Fig. 6b. Von innen. – Fig. 6c. Von der Seite.	
Fig. 7a, b.	<i>Spirigera moluccana</i> n. sp. Exemplar c. Dorsalschale. Fig. 7a. Von innen ca. $\times 1,5$ . – Fig. 7b. Von innen ca. $\times 6$ .	
Fig. 8a, b.	<i>Spirigera weberi</i> n. sp. . . . .	71
	Holotypus. Ventralschale. Fig. 8a. Von aussen. $\times 1$ . – Fig. 8b. Von innen $\times 2,7$ .	
Fig. 9.	<i>Retzia bulaënsis</i> n. sp. . . . .	72
	Holotypus. Dorsalschale von innen $\times 5,5$ .	
Fig. 10–13.	<i>Misolia asymmetrica</i> n. sp. . . . .	72
	Fig. 10. Exemplar b. Ventralschale, stark inkrustiert, von aussen $\times 2$ . – Fig. 11. Exemplar c. Ventralschale, stark inkrustiert, von aussen $\times 2$ . – Fig. 12. Exemplar d. Dorsalschale von aussen $\times 1,8$ . – Fig. 13. Exemplar f. Dorsalschale von aussen $\times 2$ .	



### Erklärung zu Tafel IV

Fig. 1–2.	<i>Koninckina alfurica</i> WANNER . . . . .	75
	Fig. 1. Dorsalschale von innen $\times 3,8$ . – Fig. 2. Dorsalschale von innen, inkru- stiert, mit Resten des Armgerüstes $\times 3,9$ .	
Fig. 3–4.	<i>Misolia asymmetrica</i> n. sp. . . . .	72
	Fig. 3. Exemplar e. Dorsalschale von aussen $\times 2,1$ . – Fig. 4. Holotypus (Exem- plar a). Ventralschale von aussen $\times 1,55$ .	
Fig. 5a, b.	<i>Spirigera moluccana</i> n. sp. . . . .	69
	Holotypus (Exemplar a). Ventralschale. Fig. 5a. Von aussen $\times 1$ . – Fig. 5b. Von der Seite $\times 3$ .	
Fig. 6.	<i>Retzia bulaënsis</i> n. sp. . . . .	72
	Holotypus. Dorsalschale von aussen $\times 2$ .	
Fig. 7a–d.	<i>Limea pusilla</i> n. sp. $\times 2,7$ . . . . .	78
	Fig. 7a. Linke Klappe von aussen. – Fig. 7b. Linke Klappe von innen. – Fig. 7c. Rechte Klappe von aussen. – Fig. d. Rechte Klappe von innen.	
Fig. 8a, b.	<i>Posidonomya gibbosa</i> GEMMELLARO . . . . .	77
	Rechte Klappe $\times 2,5$ . – Fig. 8a. Von aussen. – Fig. 8b. Von der Seite.	
Fig. 9a, b.	<i>Myophoria moluccana</i> n. sp. . . . .	79
	Holotypus $\times 2$ . Fig. 9a. Linke Klappe von aussen. – Fig. 9b. Linke Klappe von innen.	
Fig. 10.	<i>Avicula</i> ? n. sp. . . . .	75
	Linke Klappe von aussen $\times 2$ .	
Fig. 11.	<i>Promathidia subcancellata</i> MÜNSTER var. <i>indica</i> n. v. . . . .	79
	Holotypus $\times 3,5$ . Rückansicht.	
Fig. 12.	<i>Cycloceltites oppiani</i> DIENER $\times 1,1$ . . . . .	81
Fig. 13.	<i>Sirenites</i> n. sp. ? $\times 1$ . . . . .	81

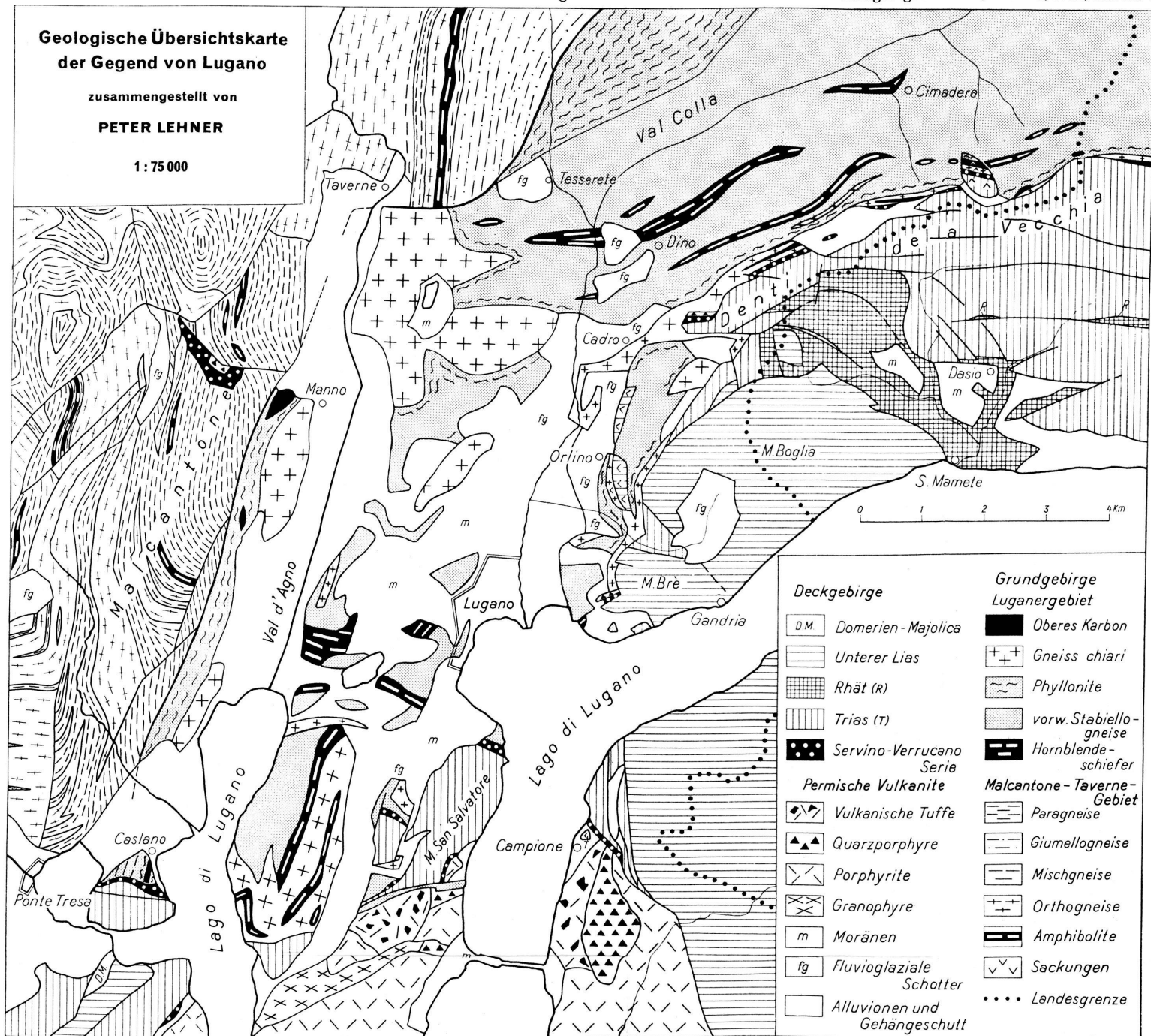




**Geologische Übersichtskarte  
der Gegend von Lugano**

zusammengestellt von  
**PETER LEHNER**

1 : 75 000



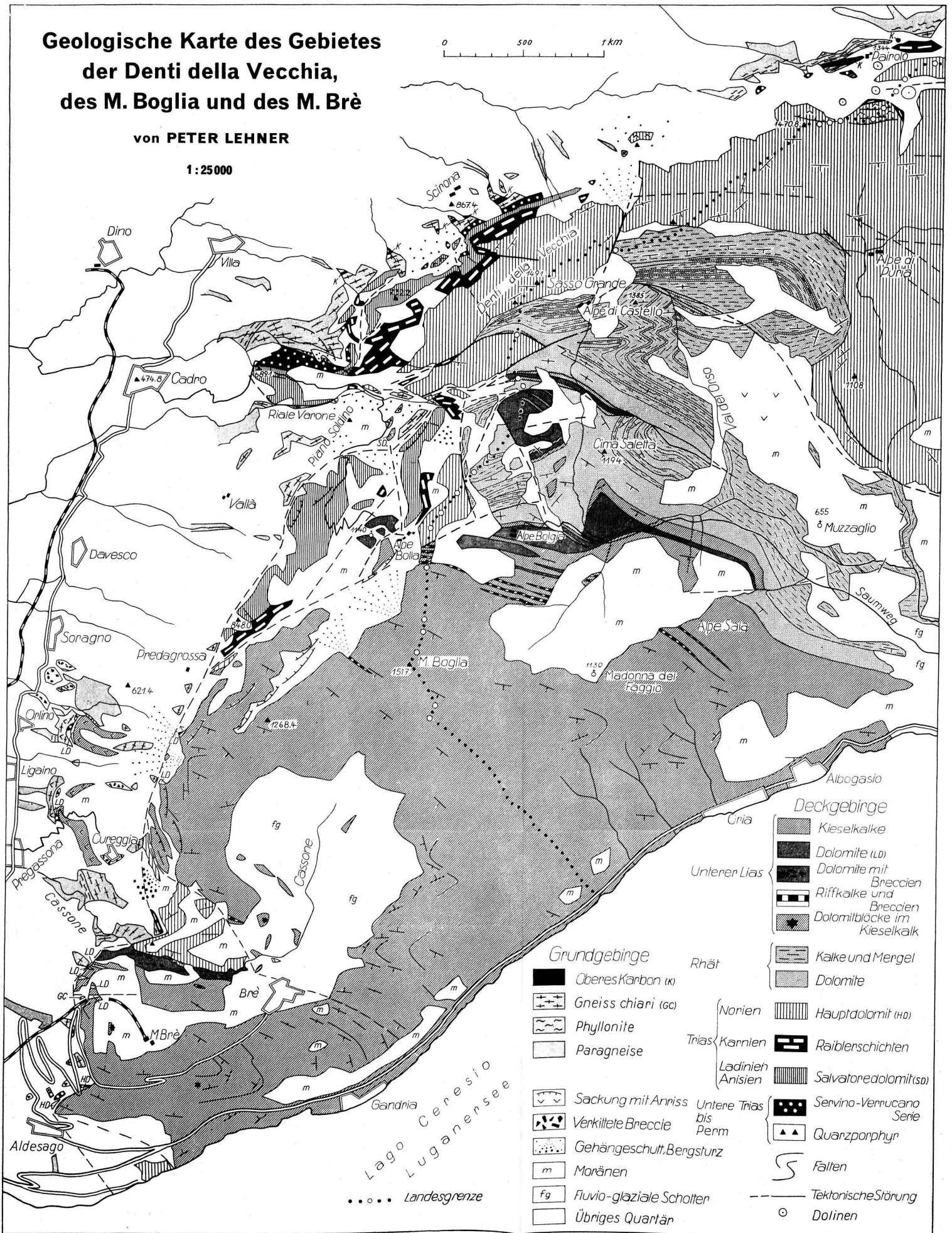
Deckgebirge		Grundgebirge Luganergebiet	
D.M.	Domerien-Majolica	■	Oberes Karbon
▨	Unterer Lias	+++	Gneiss chiari
▩	Rhät (R)	~	Phyllonite
▧	Trias (T)	▨	vorw. Stabiello- gneise
▩	Servino-Verrucano Serie	▩	Hornblende- schiefer
▩	Permische Vulkanite	▨	Malcantone-Taverne- Gebiet
▩	Vulkanische Tuffe	▨	Paragneise
▩	Quarzporphyre	▨	Giumelloagneise
▩	Porphyrite	▨	Mischgneise
▩	Granophyre	▨	Orthogneise
m	Moränen	▨	Amphibolite
fg	Fluvioglaziale Schotter	▨	Sackungen
□	Alluvionen und Gehängeschutt	••••	Landesgrenze

# Geologische Karte des Gebietes der Denti della Vecchia, des M. Boglia und des M. Brè

von PETER LEHNER

1:25000

0 500 1 km



- |                              |                             |
|------------------------------|-----------------------------|
| <b>Deckgebirge</b>           |                             |
|                              | Kieselkalke                 |
|                              | Dolomite (LD)               |
|                              | Dolomite mit Breccien       |
|                              | Riffkalke und Breccien      |
|                              | Dolomitblöcke im Kieselkalk |
| <b>Unterer Lias</b>          |                             |
|                              | Kalke und Mergel            |
|                              | Dolomite                    |
| <b>Grundgebirge</b>          |                             |
|                              | Oberes Karbon (K)           |
|                              | Gneiss chiari (GC)          |
|                              | Phyllonite                  |
|                              | Paragneise                  |
|                              | Sackung mit Anriss          |
|                              | Verkittete Breccie          |
|                              | Gehängeschutt, Bergsturz    |
|                              | Moränen                     |
|                              | Fluvio-glaziale Schotter    |
|                              | Übriges Quartär             |
| <b>Rhät</b>                  |                             |
|                              | Hauptdolomit (HD)           |
|                              | Raiblerschichten            |
| <b>Trias</b>                 |                             |
|                              | Salvatoreadolomits (SA)     |
|                              | Servino-Verrucano Serie     |
|                              | Quarzporphyr                |
| <b>Untere Trias bis Perm</b> |                             |
|                              | Falten                      |
|                              | Tektonische Störung         |
|                              | Dolinen                     |

..... Landesgrenze

### Geologische Profile durch das Gebiet der Denti della Vecchia, des M. Boglia und des M. Brè

von PETER LEHNER

1:25 000

